

## 돼지 신장으로부터 디펩티다제의 부분정제 및 그에 대한 신규 카바페넴계 항생물질 DWP20418의 안정성 평가

김지연<sup>#</sup> · 박남준 · 유영효 · 박명환

(주) 대웅제약 중앙연구소

(Received February 9, 1997)

### The Stability Test of New Carbapenem DWP20418 and Partial Purification and Characterization of Renal Dehydropeptidase-I

Ji Yeon Kim<sup>#</sup>, Nam Jun Park, Young Hyo Yu and Myung Hwan Park  
R & D Center, Daewoong Pharmaceutical Co., Ltd., Sungnam, Kyunggi-Do 462-120, Korea

**Abstract**— Dehydropeptidase-I (DHP-I) was solubilized from porcine kidney by treatment with *n*-butanol and partially purified 19.25 fold by  $(\text{NH}_4)_2\text{SO}_4$  precipitation, DEAE-Sepharose CL-6B ion exchange chromatography and Sephadex S-300 HR chromatography with an overall yield of 19.16. DHP-I showed its optimal activity at pH 7.5 and 25°C. Its activity was stable under neutral and alkaline conditions, but was disappeared under acidic condition. And DHP-I was heat-labile and its activity remained at 45°C for 3 hrs. The enzyme was not inhibited by dicationic ions, while its activity was increased by  $\text{Co}^{2+}$  (1 mM) and  $\text{Zn}^{2+}$  (0.1 mM). The enzyme was inhibited by EDTA and N-ethylmaleimide. The relative molecular mass of DHP-I was estimated to be approximately 100 kDa by gel filtration chromatography. The  $K_m$  value of DHP-I for glycyldehydrophenylalanine (GDHP) was 1.98 mM. DWP20418 [(1R, 5S, 6S)-6-(1-(R)-Hydroxyethyl)-1-methyl-2-(2S, 4S)-2-(piperazinylcarbonyl)-1-(R)-hydroxyethyl)pyrrolidine-4-thio]carbapen-2-em-3-carboxylic acid], compared with meropenem (MEPM), was rather easily hydrolyzed by DHP-I, while it was four times more resistant than imipenem (IPM) to DHP-I.

**Keywords** □ Dehydropeptidase-I (DHP-I), Purification,  $K_m$ ,  $V_{max}$ , Imipenem, Meropenem, DWP20418.

돼지의 신장으로부터 Dipeptidase(Dehydropeptidase-I: DHP-I)가 분리·정제된 후<sup>1)</sup>, 이 효소의 작용을 규명하는 작업이 계속 진행되어 왔다. 1966년 DHP-I는 renal proximal tubules의 brush border microvilli에 integral membrane protein으로서 존재하고 있음이 밝혀졌으며<sup>2)</sup>, 흰쥐<sup>3~4)</sup>, 돼지<sup>5~6)</sup> 및 인간<sup>7~10)</sup>의 신장으로부터 분리되었다. 포유류 신장의 proximal tubules의 microvilli는 재흡수 작용이 활발하고 많은 가수분해효소가 분포하는 것으로 알려져 있는데, 이 효소에 의해 신장에서의 재흡수를 용이하도록 여러 di-

peptides를 가수분해하는 것으로 밝혀졌다. 인간의 renal dipeptidase는 그 특성이 부분적으로 밝혀졌는데 Campbell *et al.*<sup>7)</sup>은 이 효소가 분자량 59 kDa으로 된 4개의 소단위로 구성되어 있으며, imipenem(IPM)과 glycyldehydrophenylalanine(GDHP)에 대한 효소 활성이 cilastatin이라는 효소저해제에 의해 경쟁적이고 가역적으로 영향을 받는다고 보고하였으며, Mitsuhashi *et al.*<sup>8)</sup>은 이 효소가 2개의 소단위로 이루어진 135 kDa의 분자량을 가지는 것으로 보고하였다. 또한, 돼지의 DHP-I는 Campbell *et al.*<sup>11)</sup>과 Mikami *et al.*<sup>6)</sup>에 의해 분리·정제되었는데, 94 kDa의 분자량으로 된 zinc metalloenzyme으로 GDHP의 가수분해를 촉진하고 leukotriene D<sub>4</sub>를 leukotriene E<sub>4</sub>로 전환시키며<sup>3)</sup>,

<sup>#</sup> 본 논문에 관한 문의는 이 저자에게로  
(전화) 0342-41-7700 (팩스) 0342-731-7554

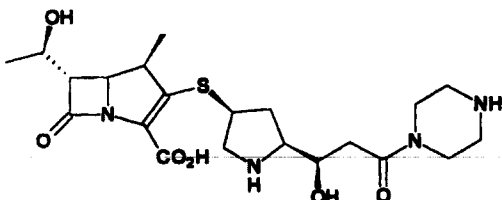


Fig. 1 – Chemical structure of DWP20418.

(1R, 5S, 6S)-6-[1-(R)-Hydroxyethyl]-1-methyl-2-[(2S, 4S)-2-(piperazinylcarbonyl)-1-(R)-hydroxyethyl]pyrrolidine-4-thio)carbapen-2-em-3-carboxylic acid

IPM 등의 카바페넴계 항생물질을 특이적으로 불활성화시키는 것으로 알려져 있다.<sup>11)</sup> 이와 같은 물리화학적 특성을 가진 DHP-I은 동물 종에 따라서도 그 분포 양상이 상이하며 기질특이성도 다르기 때문에 요중으로 배설되는 카바페넴계 항생물질의 *in vivo* 활성이 차이가 생길 수 있다.<sup>3~4,7)</sup> 특히, *in vitro*에서 우수한 항균 활성을 보이는 IPM이 *in vivo*에서 포유류의  $\beta$ -lactamase로 작용하는 이 효소에 의해 약효 활성이 크게 감소하는 것으로 보고된 이후, DHP-I은 카바페넴계 항생물질과 관련하여 중요성이 부각되었다. DHP-I이 카바페넴계 항생물질에 작용하는 시기는 사구체 여과 과정으로, 이러한 post-excretory metabolism 때문에 IPM 등의 카바페넴계 항생물질이 오로감염증 치료에 유효한 혈중농도를 유지할 수가 없으므로, DHP-I에 대해 카바페넴계 항생물질을 안정화하기 위하여 효소저해제가 개발되었고 카바페넴계 항생물질의  $\beta$ -락탐환에 1- $\beta$ -메틸기를 도입하여 효소에 대한 화학적 안정성을 증가시켰다.<sup>13)</sup>

이에 본 실험에서는 돼지 신장의 피질부위로부터 DHP-I을 부분정제하여 그 효소학적 특성을 규명하고, 신규 합성된 카바페넴계 항생물질인 DWP20418 [(1R, 5S, 6S)-6-(1-(R)-Hydroxyethyl)-1-methyl-2-((2S, 4S)-2-(piperazinylcarbonyl)-1-(R)-hydroxyethyl) pyrrolidine-4-thio)carbapen-2-em-3-carboxylic acid; 특허출원 95-66329호]의 DHP-I에 대한 안정성을 평가한 결과를 보고하고자 한다.

## 실험방법

### 실험재료의 준비

본 실험에서 사용한 돼지 신장은(주) 성도산업에서 구하였고, Glycyldehydrophenylalanine(GDHP)과 Meropenem(MEPM)은 (주) 대웅제약에서 합성하여

사용하였으며 Imipenem(IPM)은 (주) 중외제약에서 구입하여 사용하였다.

### 효소활성의 측정

Renal dehydropeptidase-I(DHP-I)의 활성도는 275 nm에서 GDHP가 분해되어 흡광도가 감소하는 정도를 측정하였다. 50 mM Tris-HCl(pH7.5) 완충액에 50  $\mu$ M GDHP와 효소시료 1 Unit을 첨가한 후 1분 동안의 흡광도 변화를 측정하였으며, 효소의 단위는 1분 동안 GDHP 1 mole을 가수분해하는 효소량을 1 Unit로 정하였다. 또한 IPM의 흡광도는 299 nm에서, MEPM과 DWP20418의 흡광도는 300 nm에서 각각 측정하였다.

### 단백질의 정량

단백질량은 Bovine serum albumin(BSA)을 표준단백질로 하여 595 nm에서 측정하였으며, BIO-RAD Econo system을 사용<sup>14)</sup>할 때는 280 nm에서의 흡광도로써 단백질량을 정하였다.

### DHP-I의 정제

모든 과정은 4°C에서 이루어졌으며, 원심분리의 조건은 12,000  $\times$  g, 20분간 행하는 것으로 정하였다. 피막을 제거한 돼지 신장의 피질부를 50 mM Tris-HCl(pH7.5) 완충액에서 (1:3, V/V) 13,500 rpm으로 10분간 분쇄하였다. 이에 20% *n*-butanol (-20°C)을 넣고 3시간 동안 교반시킨 후 원심분리하여 얻은 상등액에 60% acetone(-20°C)을 넣고 30분간 교반시키고 원심분리하였다. 이로부터 얻은 침전물을 50 mM Tris-HCl(pH7.5) 완충액에 녹인 후 동일 완충액에서 3일간 투석한 다음, 50%  $(\text{NH}_4)_2\text{SO}_4$ 를 넣고 2시간 동안 교반시킨 후 원심분리한 상등액에 75%  $(\text{NH}_4)_2\text{SO}_4$ 를 처리하여 18시간 동안 교반시켰다. 이를 원심분리하여 얻은 침전물을 50 mM Tris-HCl (pH7.5) 완충액에 녹여 동일 완충액에서 3일간 투석한 후 불용성 물질을 제거한 상등액을 얻었다. 50 mM Tris-HCl(pH7.5) 완충액으로 평형화시킨 DEAE-Sepharose CL-6B 이온교환 컬럼(4.5  $\times$  24 cm)에 효소시료를 첨가하고 동일 완충액으로 세척한 후, 0~0.5 M NaCl의 일정농도 기울기로 용출시켰다 (용출속도 30 ml/hr, 분획량 10 ml). 이로부터 얻은 효소시료를 100 mM Tris-HCl(pH7.5) 완충액으로

교환시킨 후, 동일 완충액으로 평형화시킨 Sephadryl S-300 HR 컬럼( $2.6 \times 90\text{ cm}$ )에 효소시료를 첨가하고 동일 완충액으로 용출시켰으며, 이때의 용출속도는  $24\text{ ml/hr}$ 이고  $4.6\text{ ml/s}$  분획하였다.

### 효소학적 특성

**pH의 영향** - 효소 활성에 대한 pH의 영향을 알아보기 위해 pH 6~7.5에서는 phosphate 완충액을, pH 7.5~9.5에서는 Tris-HCl 완충액을, pH 9.5~10에서는 carbonate 완충액을 사용하여 효소 활성을 측정하였다. 또한, 효소 안정에 대한 pH의 영향은 각 완충액에 효소시료를 넣고  $4^\circ\text{C}$ 에서 24시간, 48시간 동안 방치한 다음 잔존하는 효소의 활성을 측정하여 조사하였다.

**온도의 영향** - 효소 활성에 대한 온도의 영향을 조사하기 위해  $25^\circ\text{C}$ 에서  $55^\circ\text{C}$ 까지  $5^\circ\text{C}$  간격으로  $50\text{ mM}$  Tris-HCl(pH 7.5) 완충액의 온도를 조절하여 효소 활성을 측정하였다. 또한, 효소 안정에 대한 온도의 영향은  $50\text{ mM}$  Tris-HCl(pH 7.5) 완충액에 효소시료를 넣고  $4^\circ\text{C}$ ,  $25^\circ\text{C}$ ,  $35^\circ\text{C}$ ,  $45^\circ\text{C}$ 로 완충액의 온도를 유지시키면서 90분 간격으로 3시간 동안의 잔존 효소 활성을 측정하여 조사하였다.

**금속이온과 다양한 화합물의 영향** - 효소 활성에 대한 금속이온과 다양한 화합물의 영향을 조사하기 위해  $0.1\text{ mM}$  내지  $1\text{ mM}$ 의 금속이온이나 화합물을 효소 반응액에 넣고 효소 활성을 측정하였다.

**분자량의 결정** - 효소의 분자량을 측정하기 위해 Sephadryl S-300 HR 컬럼( $2.6 \times 90\text{ cm}$ )에서  $100\text{ mM}$  Tris-HCl(pH 7.5) 완충액으로 용출하였다(용출속도  $24\text{ ml/hr}$ ). 이때 사용된 표준단백질은 bovine thyroglobulin(669 kDa), horse serum apoferritin(443 kDa), sweet potato-amylase(200 kDa), yeast alcohol dehydrogenase(150 kDa), bovine serum albumin(66 kDa), bovine erythrocytes carbonic anhydrase(29 kDa)이었다.

### 신규 카바페넴계 항생물질인 DWP20418의 DHP-I에 대한 안정성 평가

부분정제된 효소의 각 화합물에 대한  $K_m$  값과  $V_{max}$ 를 측정하기 위해 여러 기질농도에서 효소 활성을 측정하였다. 기질의 농도 범위는  $0.01\sim 0.2\text{ mM}$ 로 하였고,  $K_m$  값과  $V_{max}$ 는 Lineweaver-Burk plot에서 산출하였으며, IPM의 계산치를 기준으로 MEPM과 DWP 20418의 DHP-I에 대한 안정성을 평가하였다.

### 결과 및 고찰

#### DHP-I의 부분정제

돼지 신장의 피질부로부터 분쇄, *n*-butanol 용출,  $(\text{NH}_4)_2\text{SO}_4$  분획, DEAE-Sepharose CL-6B 이온교환 크로마토그래피, Sephadryl S-300 HR 크로마토그래피 단계를 거쳐 정제배율 19.25배, 회수율 19.16%로 부분정제하였다(Table I).

#### 효소학적 특성

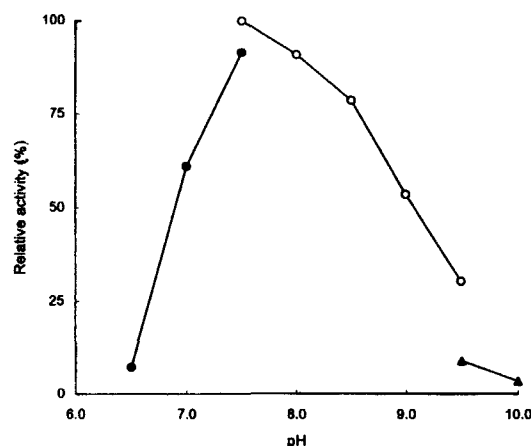
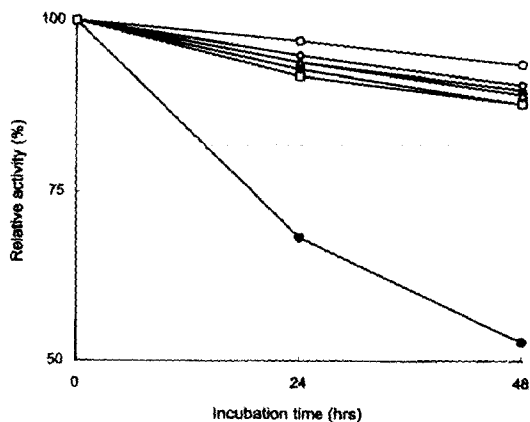


Fig. 2 — Optimal pH of renal dehydropeptidase-I.  
pH 6.5~pH 7.5:  $50\text{ mM}$  phosphate buffer (●).  
pH 7.5~pH 9.5:  $50\text{ mM}$  Tris-HCl buffer (○).  
pH 9.5~pH 10.0:  $50\text{ mM}$  carbonate buffer (▲).

Table I — Purification scheme of renal dehydropeptidase-I

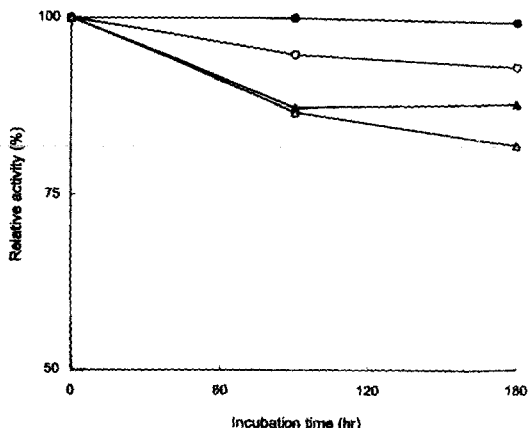
Purification step	Total	Total	Specific	Yield	Purification
Homogenization	644.06	8333.44	0.08	100	1
50~75% $(\text{NH}_4)_2\text{SO}_4$ treatment	521.42	1174.90	0.44	80.96	5.74
DEAE-Sepharose CL-6B chromatography	408.24	712.32	0.57	63.39	7.42
Sephadryl S-300 HR chromatography	123.42	82.94	1.49	19.16	19.25

\* 1 Unit : GDHP 1 mole을 가수분해하는 효소량(GDHP의 15,700/mole/cm)



**Fig. 3** — pH stability of renal dehydropeptidase-I.  
pH7.0: 50 mM phosphate buffer (●), pH7.5~  
pH9.5: 50 mM Tris-HCl buffer (pH7.5: ○, pH8.  
0: ▲, pH8.5: △, pH9.0: ♦, pH9.5: ◇), pH10.0:  
50 mM carbonate buffer (■).

**pH의 영향** — 효소 활성에 대한 최적 pH는 pH7.5로 평가되었으며, phosphate 완충액보다 Tris-HCl 완충액에서의 효소 활성이 우수한 것으로 나타났다. pH7.0 이하와 pH9.0 이상의 완충액 조건에서는 효소활성이 50% 이하로 감소하였으며, DHP-I은 pH7.5-pH8.5 사이의 중성 조건에서 효소 활성이 우수하게 측정되었다(Fig. 2). 또한, 각 완충액에서의 잔존 효소활성을 측정한 결과 pH7.5에서 효소 활성이 가장 안정하게 유지되었으며, pH7.0을 제외한 다른 조건에서도 효소 활성은 비교적 안정하게 유지되었다. 이로써, DHP-I은 중성 및 약알칼리성 조건에서 효소 활성이 안정하게 유지

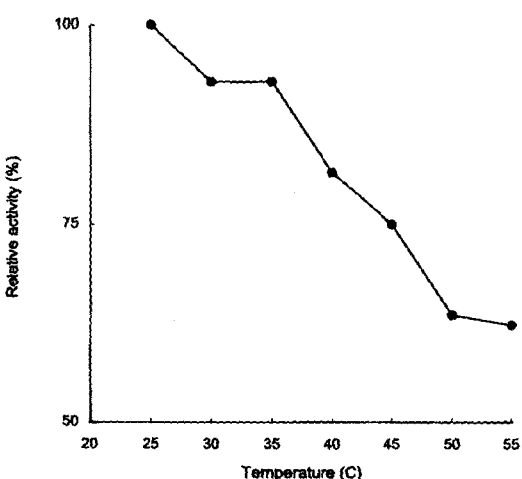


**Fig. 5** — Thermal stability of renal dehydropeptidase-I.  
4°C (●), 25°C (○), 35°C (▲), 45°C (△)

됨을 알 수 있었다(Fig. 3).

**온도의 영향** — 25~55°C에서 효소 활성을 측정한 결과 25°C에서 가장 높은 활성을 보였으며 온도가 증가함에 따라 효소 활성이 점차 감소하였다(Fig. 4). 또한, 온도에 대한 효소 안정성은 4°C에서 가장 좋은 결과를 나타내었으며, 다른 온도 조건에서는 효소 활성이 점차 감소되어 25°C에서도 3시간만에 약 7%의 효소 활성이 감소하였다(Fig. 5.).

**금속이온의 영향** — 금속이온이 효소 활성에 미치는 영향을 측정한 결과를 Table II에 나타내었다. 효소 반응액에 각 금속이온을 첨가하여 효소 활성을 측정하였을 때 80% 이상의 효소 활성을 유지하였으며, 1 mM Co<sup>2+</sup> 이온이나 0.1 mM Zn<sup>2+</sup> 이온의 첨가로 인해 효소 활성이 증가되는 형상을 보였다. 이는 효소를 분리할 때나 효소 반응액에 Co<sup>2+</sup> 이온이나 Zn<sup>2+</sup> 이온을 첨가하



**Fig. 4** — Optimal temperature of renal dehydropeptidase-I.

**Table II** — Effect of metal ions against renal dehydropeptidase-I

Metal ions	Concentration	Relative activity (%)
Control		100
BaCl <sub>2</sub>	0.1	88.46
	1.0	83.08
CaCl <sub>2</sub>	0.1	95.38
	1.0	89.23
CoCl <sub>2</sub>	0.1	84.62
	1.0	111.54
MgSO <sub>4</sub>	0.1	99.23
	1.0	84.62
MnSO <sub>4</sub>	0.1	99.23
	1.0	100
ZnSO <sub>4</sub>	0.1	106.15
	1.0	13.85

**Table III** — Effect of various compounds against renal dehydropeptidase-I

Compounds	Concentration (mM)	Relative activity (%)
Control		100
8-Hydroxyquinoline	0.1	95.38
Sodium azide	1.0	108.46
Phenylmethy-lsulfonylfluoride	0.1	100
	1.0	113.08
Hydroquinone	0.1	81.54
N-Ethylmaleimide	0.1	93.08
	1.0	80.77
EDTA	0.1	95.38
	1.0	76.15

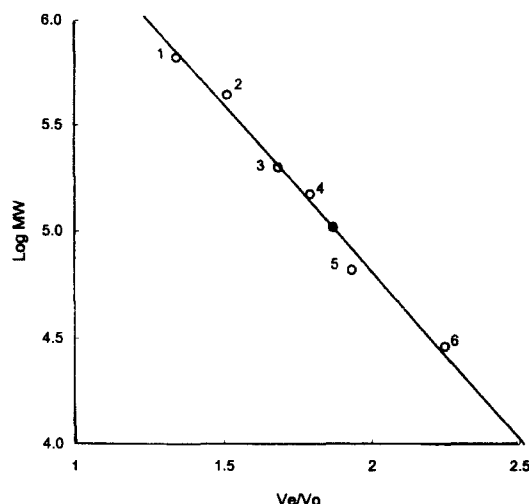
였던 기존의 발표자료와 일치하였다.<sup>5,10)</sup> 그러나, Zn<sup>2+</sup>-metalloenzyme인 DHP-I은 과량의 Zn<sup>2+</sup> 이온을 첨가시(1 mM) 오히려 효소 활성이 저해되었다.

**다양한 화합물의 영향** — 각 화합물을 효소반응액에 첨가하여 효소 활성을 측정한 결과, chelating agent인 EDTA나 hydroquinone, 그리고 N-ethylmaleimide에 의해 효소 활성이 저해되는 것으로 보아 본 효소는 metalloenzyme이며 cysteine기가 효소 활성에 중요한 역할을 한다는 것을 알 수 있었다. 한편 serine기에 작용하는 PMSF는 효소 활성에 거의 영향을 주지 않았다(Table III).

**분자량의 결정** — 효소의 분자량을 측정한 결과를 Fig. 6에 나타내었으며, DHP-I의 분자량을 산출한 결과 100 kDa 정도로 추정되었다.

#### 신규 카바페넴계 항생물질인 DWP20418의 DHP-I에 대한 안정성 평가

IPM과 MEPM의 기질농도 0.01~0.2 mM 사이에서 부분정제된 DHP-I의 반응 초기 속도를 측정하여



**Fig. 6** — Determination of molecular weight of renal dehydropeptidase-I by gel filtration chromatography. Standard protein (O): 1) bovine thyroglobulin (669 kDa), 2) horse serum apoferritin (443 kDa), 3) sweet potato  $\beta$ -amylase (200 kDa), 4) yeast alcohol dehydrogenase (150 kDa), 5) bovine serum albumin (66 kDa), 6) bovine erythrocytes carbonic anhydrase (29 kDa) and renal dehydropeptidase-I (●).

Lineweaver-Burk plot으로 회귀하였다. 여기에서 IPM의  $V_{max}/K_m$  계산치를 근거로 MEPM과 DWP 20418의 분해도를 산출한 결과, 부분정제된 DHP-I에 대해 MEPM은 IPM의  $13.38 \pm 3.35\%$ , DWP 20418은 IPM의  $25.32 \pm 7.81\%$  분해되었다. 그러므로, DWP 20418이 DHP-I에 대해 IPM보다 하위기질로서 IPM보다 4배 우수한 안정성을 가지고 있으며, MEPM과 거의 유사한 수준의 안정성을 가지고 있는 것으로 평가되었다.

#### 결 론

돼지 신장의 피질부로부터 분쇄, n-butanol 용출, (NH<sub>4</sub>)<sub>2</sub>SO<sub>4</sub> 분획, DEAE-Sepharose CL-6B 이온교환 크로마토그래피, Sephadryl S-300 HR 크로마토그래피 단계를 거쳐 정제배율 19.25배, 회수율 19.16%로 DHP-I을 부분정제하였으며, 겔 여과 크로마토그래피를 통해 100 kDa 정도로 추정되었다. 효소 활성에 대한 최적 pH와 온도는 pH 7.5와 25°C로 평가되었으며, 본 효소는 phosphate 완충액보다 Tris-HCl 완충액에서의 효소 활성이 우수한 것으로 나타났다. 효소 안정성에

**Table IV** — The stability test of GDHP, IPM, MEPM and DWP20418 against renal dehydropeptidase-I

Compounds	Degradating percentage (%) $\pm$ S.D.*
Glycyldehydrophenylalanine (GDHP)	100
Imipenem	$13.15 \pm 0.26$
Imipenem	100
Meropenem	$13.38 \pm 3.35$
DWP20418	$25.32 \pm 7.81$

\* S. D. : Standard deviation

있어서 본 효소는 pH7.5에서 효소 활성이 가장 안정하게 유지되었으며, pH7.0을 제외한 중성 및 약알칼리성 조건에서도 효소 활성은 비교적 안정하게 유지되었다. 또한, 온도에 대한 효소 안정성은 4°C에서 가장 좋은 결과를 나타내었으며, 다른 온도 조건에서는 효소 활성이 점차 감소되어 25°C에서 3시간만에 93.06%로 효소 활성이 감소하였다. Chelating agent인 EDTA와 hydroquinone에 의해 효소 활성이 저해되고, Co<sup>2+</sup> 이온(1 mM)이나 Zn<sup>2+</sup> 이온(0.1 mM)의 첨가로 인해 효소 활성이 증가되는 결과를 통해 본 효소는 알려진 바와 같이 metalloenzyme이며 1, 3, 6). 효소 분리 시나 효소 활성 측정 시에 Co<sup>2+</sup> 이온이나 Zn<sup>2+</sup> 이온을 첨가하는 기준의 발표자료와 일치하였다.<sup>5, 10)</sup> 또한 본 효소는 N-ethylmaleimide에 의해 효소 활성이 저해되었으며 이는 cysteine기가 효소의 활성에 중요한 역할을 한다는 것을 의미한다. serine기에 작용하는 PMSF는 효소 활성에 거의 영향을 주지 않았다. 또한 부분정제된 DHP-I에 의해 MEPM은 IPM의 13.38±3.35%, DWP 20418은 IPM의 25.32±7.81%만이 분해되었다. 이를 통해 DWP20418이 DHP-I에 대해 IPM보다 하위기질로서 IPM보다 4배 안정성이 우수한 물질이며, MEPM과 거의 유사한 수준의 안정성을 가지고 있는 것으로 평가되었다.

## 문 헌

- 1) Campbell, B. J., Lin, Y. C., Davi, R. V. and Ballou, E. : The purification and properties of a particulate renal dipeptidase. *Biochem. Biophys. Acta*, **118**, 371 (1966).
- 2) Littlewood, G. M., Hooper, N. M. and Turner, A. J. : Ectoenzymes of the kidney microvillar membrane. Affinity purification, characterization and localization of the phospholipase C-solubilized form of the renal dipeptidase. *Biochem. J.* **257**, 361 (1989).
- 3) Farrell, C. A., Allegretto, N. J. and Hitchcock, M. J. : Cilastatin-sensitive dehydropeptidase I enzymes from three sources all catalyze carbapenem hydrolysis and conversion of leukotriene D4 to leukotriene E4. *Arch. Biochem. Biophys.* **256**, 253 (1987).
- 4) Thomas, M. and Norman, P. C. : Renal ca-

tabolism of glutathione. Characterization of a particulate rat renal dipeptidase that catalyzes the hydrolysis of cysteinylglycine. *J. Biol. Chem.* **257**, 11915 (1982).

- 5) Kim, H. S. and Campbell, B. J. : Association of renal dipeptidase with the Triton-insoluble fraction of kidney microvilli. *J. Membr. Biol.* **75**, 115 (1983).
- 6) Mikami, H., Ogashiwa, M., Saino, Y., Inoue, M. and Mitsuhashi, S. : Comparative stability of newly introduced-lactam antibiotics to renal dipeptidase. *Antimicrob. Agents. Chemother.* **22**, 693 (1982).
- 7) Campbell, B. J., Forrester, L. J., Zahler, W. L. and Burks, M. : Beta-lactamase activity of purified and partially characterized human renal dipeptidase. *J. Biol. Chem.* **259**, 14586 (1984).
- 8) Mitsuhashi, S., Fuse, A., Mikami, H., Saino, Y. and Inoue, M. : Purification and characterization of human renal dehydropeptidase I. *Antimicrob. Agents. Chemother.* **32**, 587 (1988).
- 9) Sugiura, M., Ito, Y., Hirano, K. and Sawaki, S. : Purification and properties of human kidney dipeptidases. *Biochem. Biophys. Acta*, **522**, 541 (1978).
- 10) Adachi, H., Katayama, T., Inuzuka, C., Oikawa, S., Tsujimoto, M. and Nakazato, H. : Identification of membrane anchoring site human renal dipeptidase and construction and expression of a cDNA for its secretory form. *J. Biol. Chem.* **265**, 15341 (1990).
- 11) Kim, H. S. and Campbell, B. J. :  $\beta$ -lactamase activity of renal dipeptidase against N-formimidoyl thienamycin. *Biochem. Biophys. Res. Commun.* **108**, 1638 (1982).
- 12) Hirota, T., Nishikawa, Y., Tanaka, M., Igarashi, T. and Kitagawa, H. : Simultaneous purification and properties of dehydropeptidase-I and aminopeptidase-M from rat kidney. *Res. Commun. Chem. Pathol. Pharmacol.* **49**, 435 (1985).
- 13) Masatomo, F., Yoshihiro, S., Eiko, T. H., Tomoharu, T., Hiroshi, N., Tsuneo, K., Takao, O., Haruki, M. and Makoto, S. : Stability of meropenem and effect of 1 $\beta$ -methyl substitution on its stability in the presence of renal dehy-

- dropeptidase I. *Antimicrob. Agents Chemother.* **36**, 1577 (1992).
- 14) Bradford, M. M. : A rapid sensitive method for the quantitation of microgram quantities of protein utilizing the principle of protein-dye binding method. *Anal. Biochem.* **72**, 248 (1976).